

汎関数くりこみ群に基づいた密度汎関数理論による 一次元核物質の基底・励起状態の微視的記述

横田 猛¹, 吉田 賢市¹, 国広 悅二²

¹京都大学 理学研究科 原子核理論研究室

²京都大学 基礎物理学研究所

arXiv:1803.07439



熱場の量子論とその応用, 2018年8月28日, 理化学研究所和光キャンパス

Contents

- DFT-RGの導入
 - 密度汎関数理論(DFT)
 - DFT-RG
- 1次元核物質への適用
 - 基底状態 – 核物質状態方程式
 - 励起状態 – 密度-密度スペクトル関数

Contents

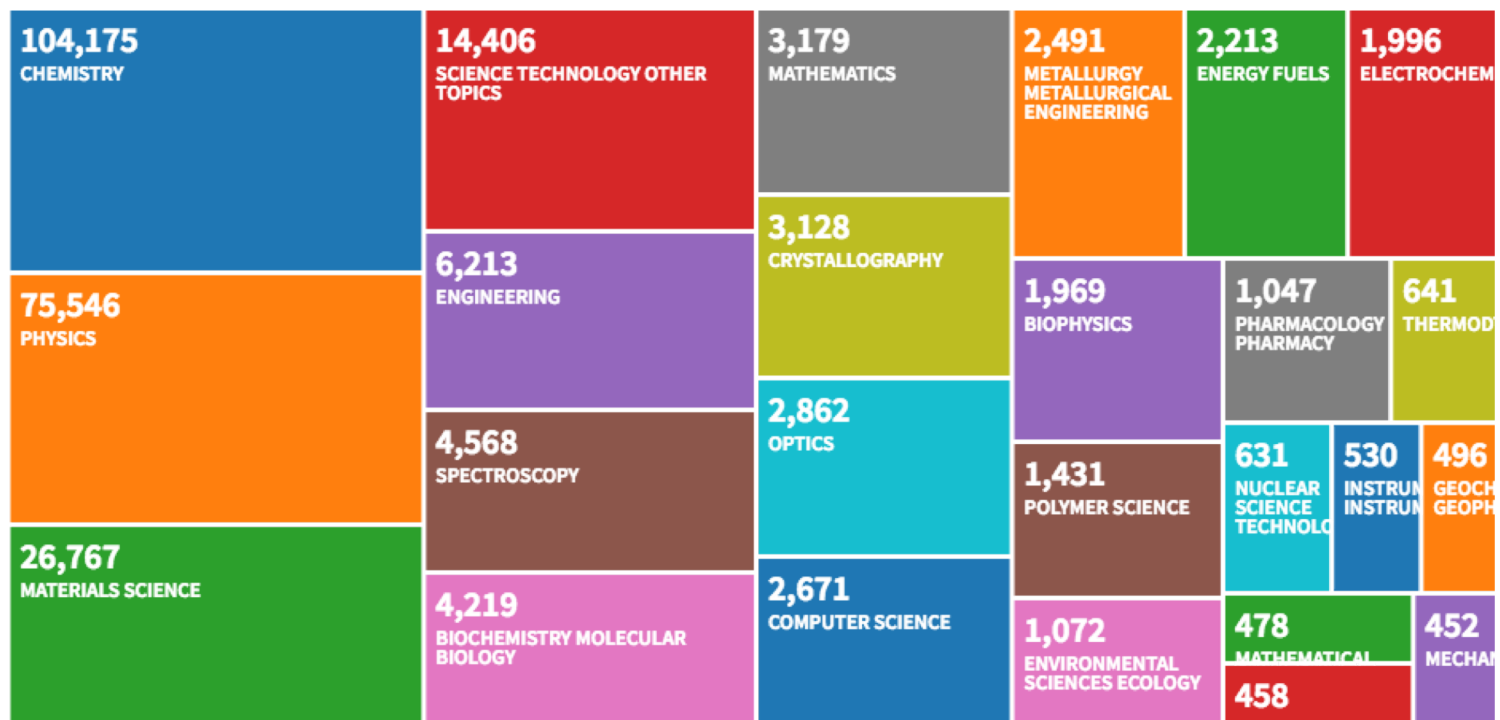
- DFT-RGの導入
 - 密度汎関数理論(DFT)
 - DFT-RG
- 1次元核物質への適用
 - 基底状態 – 核物質状態方程式
 - 励起状態 – 密度-密度スペクトル関数

密度汎関数理論 (DFT)

- 量子多体系の主流な解析法の一つ
原子核系、物性、量子化学…



W. Kohn
Nobel Prize in Chemistry(1998)



“density functional theory”に関する論文数と分野
(2018 April 26, Web of Scienceより)

DFTの基礎 – Hohenberg-Kohnの定理

Hohenberg, Kohn, PR136 (1964)

ハミルトニアン

$$\hat{H} = \hat{T} + \hat{U} + \hat{V} \quad (\text{kinetic} + \text{interaction} + \text{external})$$

First thm.

外場 \hat{V} , 基底状態の波動関数 Ψ_{gs} , 密度 ρ_{gs} の間に一対一対応

$$\rho_{\text{gs}} \Leftrightarrow \Psi_{\text{gs}} \Leftrightarrow \hat{V} \quad (\text{簡単のため } \Psi_{\text{gs}} \text{ に縮退がない場合})$$

Second thm.

エネルギー密度汎関数(EDF) $E[\rho]$ が存在。EDFの最小点は基底状態エネルギー E_{gs} と密度 ρ_{gs} を与える。

$$E_{\text{gs}} = \min_{\rho} E[\rho] = E[\rho_{\text{gs}}] \quad \text{EDF}$$

→ DFT: EDFから ρ_{gs} が得られる。原理的には ρ_{gs} から系のあらゆる性質が分かる。

- 励起状態への拡張: 時間依存DFT (TDDFT)

"作用"密度汎関数 $A[\rho(t, x)]$ に対する停留点条件

$$\delta A[\rho(t, x)] / \delta \rho(t, x) = 0 \quad \text{Runge, Gross, PRL52 (1984)}$$

DFTの威力

N 粒子系を考える

Schrödinger equation

vs

DFT

N 粒子波動関数: $\Psi(x_1, \dots, x_N)$

局所密度: $\rho(\underline{x})$

座標一つのみ!

N 体シュレーディンガー方程式

停留点条件

$$\hat{H}\Psi(x_1, \dots, x_N) = E\Psi(x_1, \dots, x_N)$$

$$\frac{\delta E[\rho]}{\delta \rho(x)} = 0$$

多くの変数 x_1, \dots, x_N に依存.
大きい N では解くのはほぼ不可能.

**N が大きくても方程式
の変数は x のみ!**

▶ 多粒子系の解析にDFTは威力を發揮.

DFTの基礎的問題

- EDFを導くことはできるのか?
EDFを微視的なハミルトニアンから系統的に導けるか?

$$\hat{H} \xrightarrow{\quad ? \quad} E[\rho]$$

- 励起状態の情報を取り出すには?



線形応答理論に基づいたTDDFTはうまくいっている。
しかし、励起状態を取り出すための線形応答理論を超えた枠組みは確立していない。

→これらの問題を解決する新たな理論的枠組みは?

DFT-RG



DFTの問題に取り組むための新たな枠組み

2PPI有効作用としてのEDF

Fukuda, Kotani, Suzuki, Yokojima, PTP92 (1994)
Valiev, Fernando, arXiv:9702247 (1997)

作用 $S[\psi^*, \psi]$ で記述されるスピンレスフェルミオン ψ を考える。
便宜上有限温度虚時間形式を用いる。

鍵となる量: 密度場 $\rho(\tau, x) = \psi^*(\tau, x)\psi(\tau, x)$

▶ 2-particle point irreducible (2PPI) formalism

Verschelde, Coppens, PLB287 (1992)

密度場 $\rho(\tau, x) = \psi^*(\tau, x)\psi(\tau, x)$ に対する相関関数の生成汎関数

$$Z[J] = \int \mathcal{D}\psi^* \mathcal{D}\psi \exp \left(-S[\psi^*, \psi] + \int_{\chi} J(\chi) \rho(\chi) \right), \quad \chi := (\tau, x), \quad \int_{\chi} := \int_0^{\beta} d\tau \int dx$$

2PPI有効作用: $\Gamma[\rho] = \sup_J \left(\int_{\chi} J(\chi) \rho(\chi) - W[J] \right), \quad W[J] = \ln Z[J]$

→ **EDF:** $E[\rho] = \lim_{\beta \rightarrow \infty} \Gamma[\rho]/\beta$

- (基底状態) 粒子数有限の下での停留点条件
 $\delta\Gamma[\rho]/\delta\rho(\tau, x) - \mu = 0$ (μ : 化学ポテンシャル)
から基底状態のエネルギーと密度が得られる。
- (励起状態) 密度密度スペクトル関数のような量の計算が可能。

DFT-RGのアイデア

J. Polonyi, K. Sailer, PRB (2002); A. Schwenk, J. Polonyi (2004)

自由粒子系から相互作用系への変化を考える。

λ -依存作用:

$$S_\lambda = S_{\text{free}} + \lambda S_{\text{int}}$$

λ -依存2PPI有効作用:

$$\Gamma_\lambda[\rho]$$

$$\Gamma_{\lambda=0}[\rho] = \Gamma_{\text{free}}[\rho] \xrightarrow{\lambda \rightarrow 1} \Gamma_{\lambda=1}[\rho] = \Gamma[\rho]$$

次の作用を考える (非相対論的スピンレス系. 粒子質量は1)

$$S_\lambda[\psi^*, \psi] = \int_\chi \psi^*(\chi) \left(\partial_\tau - \frac{1}{2} \partial_x^2 \right) \psi(\chi) + \frac{\lambda}{2} \int_{\chi, \chi'} \psi^*(\chi) \psi^*(\chi') U_{2b}(\chi, \chi') \psi(\chi') \psi(\chi)$$

$\Gamma_\lambda[\rho]$ に対するフロ一方程式:

Kemler, Pospiech, Braun, JPG
(2017)

$$\partial_\lambda \Gamma_\lambda[\rho] = \frac{1}{2} \int_{\chi_1, \chi_2} U_{2b}(\chi_1, \chi_2) \left(\rho(\chi_1) \rho(\chi_2) + \left(\frac{\delta^2 \Gamma_\lambda[\rho]}{\delta \rho \delta \rho} \right)^{-1} (\chi_1, \chi_2) - \rho(\chi_2) \delta(\chi_2 - \chi_1) \right)$$

- 右辺の括弧内第一項はハートリー項。
- 第三項は正準交換関係から生じる。

2PPIフロ一方程式

A. Schwenk, J. Polonyi (2004)

S. Kemler, M. Pospiech, J. Braun, JPG (2017)

$$S_{\text{int}}[\psi^*, \psi] = \frac{1}{2} \int_{\chi, \chi'} \psi^*(\chi) \psi^*(\chi') U_{2b}(\chi, \chi') \psi(\chi') \psi(\chi) \quad \chi = (\tau, x)$$

$$W_\lambda[J] = \ln Z_\lambda[J] = \ln \int \mathcal{D}\psi^* \mathcal{D}\psi e^{-S_{\text{free}}[\psi^*, \psi] - \lambda S_{\text{int}}[\psi^*, \psi] + \int_\chi J(\chi) \psi^*(\chi) \psi(\chi)}$$

$$\Gamma_\lambda[\rho] = \sup_J \left[\int_\chi J(\chi) \rho(\chi) - W_\lambda[J] \right]$$

$$\left[\frac{\delta^2 \Gamma_\lambda[\rho]}{\delta \rho \delta \rho} \right]^{-1} = \langle \psi^* \psi(\chi') \psi^* \psi(\chi) \rangle - \langle \psi^* \psi(\chi') \rangle \langle \psi^* \psi(\chi) \rangle$$

$$\partial_\lambda \langle \psi^* \psi(\chi) \rangle = \frac{\delta W[J]}{\delta J(\chi)} \quad \langle \dots \rangle = \frac{1}{Z[J]} \int \mathcal{D}\psi^* \mathcal{D}\psi \dots e^{-S_{\text{free}}[\psi^*, \psi] - \lambda S_{\text{int}}[\psi^*, \psi] + \int_\chi (J(\chi) + \frac{1}{2} \lambda U_{2b}(0)) \psi^*(\chi) \psi(\chi)}$$

正準交換関係

$$\begin{aligned} & \langle \psi^*(t+0, x) \psi^*(t+0, x') \psi(t, x') \psi(t, x) \rangle \\ &= \langle \psi^*(t+0, x) \psi(t+0, x) \psi^*(t, x') \psi(t, x') \rangle - \delta(x-x') \langle \psi^*(t+0, x) \psi(t, x) \rangle \end{aligned}$$

$$\partial_\lambda \Gamma_\lambda[\rho] = \frac{1}{2} \int_{\chi_1, \chi_2} U_{2b}(\chi_1, \chi_2) \left(\rho(\chi_1) \rho(\chi_2) + \left(\frac{\delta^2 \Gamma_\lambda[\rho]}{\delta \rho \delta \rho} \right)^{-1}(\chi_1, \chi_2) - \rho(\chi_2) \delta(x_2 - x_1) \right)$$

DFT-RGは“DFTの問題”を解決できるか?

- EDFを導くことはできるのか?
EDFを微視的なハミルトニアンから系統的に導けるか?
- ▶ DFT-RGの出発点は微視的作用(ハミルトニアン).
FRGで発展した手法を用いてEDFを系統的に構築できる可能性

- Vertex expansion (Taylor expansion around ground state density)
- Differential expansion (Expansion by ∂_μ)

- 励起状態の情報を取り出すには?



- ▶ スペクトル関数のような実時間についての量を計算できる!
近年FRGでスペクトル関数の計算手法が発達

Spectral function in FRG

Kamikado, Strodthoff, Smekal, Wambach, EPJC (2014)

Tripolt, Strodthoff, Smekal, Wambach, PRD (2014); Tripolt, Smekal, Wambach, PRD (2014)

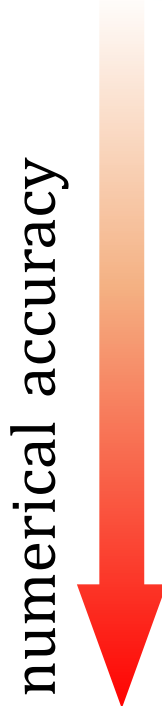
T. Y., Kunihiro, Morita, PTEP (2016); T. Y., Kunihiro, Morita, PRD96 (2017)

...

DFT-RGの現状 – DFT-RGは実用的か?

基底状態

physical reality



(0+1)-D非調和振動子
Kemler, Braun, JPG40 (2013)

(0+0)-D非調和振動子
Kemler, Braun, JPG40 (2013)
Liang, Niu, Hatsuda, PLB (2018)

(1+1)次元有限個の核子系*
Kemler, Pospiech, Braun, JPG44 (2017)

Our work!

* (1+1)次元有限粒子数のスピニレス核子系。有限サイズの箱中。
二次の頂点展開。

- ただし、2粒子系で厳密解と結果が大きく異なる。
- モンテ・カルロ(MC)法とも束縛エネルギーについて30%の違い。

DFT-RGの現状 – DFT-RGは実用的か?



* (1+1)次元有限粒子数のスピニレス核子系。有限サイズの箱中。
二次の頂点展開。

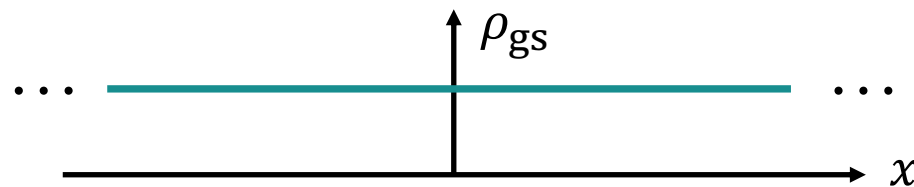
- ただし、2粒子系で厳密解と結果が大きく異なる。
- モンテ・カルロ(MC)法とも束縛エネルギーについて30%の違い。

Contents

- DFT-RGの導入
 - 密度汎関数理論(DFT)
 - DFT-RG
- 1次元核物質への適用
 - 基底状態 – 核物質状態方程式
 - 励起状態 – 密度-密度スペクトル関数

セットアップ

- ▶ (1+1)次元一様スピニレス核物質
(有限密度・無限粒子数)

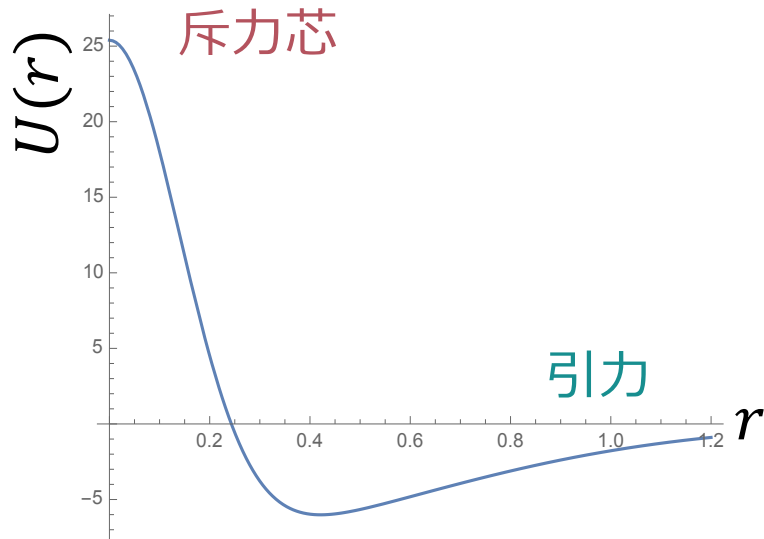


- DFTでは、局所密度近似(LDA)に対応するセットアップ。
EDFを構成するための重要な最初のステップ。
- ▶ 基底状態の解析: 状態方程式(基底エネルギーの密度依存性)、
飽和エネルギー
- ▶ 励起状態の解析: 密度・密度スペクトル関数

(1+1)次元スピニレス核物質

Alexandrou, Myczkowski, Negele, PRC (1989)

$$S_\lambda[\psi^*, \psi] = \int_{\chi} \psi^*(\chi) \left(\partial_\tau - \frac{1}{2} \partial_x^2 \right) \psi(\chi) + \frac{\lambda}{2} \int_{\chi, \chi'} \psi^*(\chi) \psi^*(\chi') U_{2b}(\chi, \chi') \psi(\chi') \psi(\chi)$$
$$U_{2b}(\chi, \chi') = \delta(\tau - \tau') U(x - x')$$



$$U(r) = \frac{g}{\sigma_1 \sqrt{\pi}} e^{-\frac{r^2}{\sigma_1^2}} - \frac{g}{\sigma_2 \sqrt{\pi}} e^{-\frac{r^2}{\sigma_2^2}}$$

$g = 12, \sigma_1 = 0.2, \sigma_2 = 0.8$
粒子質量が1となるような単位系

- ベンチマークの比較対象: MC法による飽和エネルギー
 - 粒子数12までの結合エネルギーの結果から無限系に外挿して導かれた。
 - 飽和密度は計算されたものではなく、仮定している。

Contents

- DFT-RGの導入
 - 密度汎関数理論(DFT)
 - DFT-RG
- 1次元核物質への適用
 - 基底状態 – 核物質状態方程式
 - 励起状態 – 密度-密度スペクトル関数

二次の頂点展開(2VE)とフローする化学ポテンシャル μ_λ

$$\partial_\lambda \Gamma_\lambda[\rho] = \frac{1}{2} \int_{\chi_1, \chi_2} U_{2b}(\chi_1, \chi_2) \left(\rho(\chi_1)\rho(\chi_2) + \left(\frac{\delta^2 \Gamma_\lambda[\rho]}{\delta \rho \delta \rho} \right)^{-1}(\chi_1, \chi_2) - \rho(\chi_2)\delta(x_2 - x_1) \right)$$

↓ 頂点展開($\rho_{gs,\lambda}$ 周りでのテイラー展開), フーリエ表示

0th (1粒子あたりのエネルギー)

$$\partial_\lambda \overline{E}_{gs,\lambda} = \frac{\rho_{gs,0}}{2} \tilde{U}(0) + \frac{1}{2\rho_{gs,0}} \int_p \tilde{U}(p) \left(\int_\omega \tilde{G}_\lambda^{(2)}(P) - \rho_{gs,0} \right)$$

1st ($\rho_{gs,\lambda}$)

$$\partial_\lambda \rho_{gs,\lambda} = -\frac{1}{2} \int_P \tilde{U}(p) \tilde{G}_\lambda^{(3)}(P, -P) + \tilde{G}_\lambda^{(2)}(0) \left(\partial_\lambda \mu_\lambda - \tilde{U}(0) \rho_{gs,\lambda} + \frac{1}{2} U(0) \right)$$

λ -依存化学ポテンシャル μ_λ を導入.

$\partial_\lambda \rho_{gs,\lambda} = 0$ となるように μ_λ を選ぶ。(一様系では可能)

2nd (密度二点相関関数)

$$\partial_\lambda \tilde{G}_\lambda^{(2)}(P) = -\tilde{U}(p) \tilde{G}_\lambda^{(2)}(P)^2 - \frac{1}{2} \int_{P'} \tilde{U}(p') \tilde{G}_\lambda^{(4)}(P', -P', P) + \int_{P'} \frac{\tilde{U}(p') \tilde{G}_\lambda^{(3)}(P', -P') \tilde{G}_\lambda^{(3)}(P, -P)}{2\tilde{G}_\lambda^{(2)}(0)}$$

$\tilde{G}_\lambda^{(n)}$: 連結密度相関関数 ($\delta^n W_\lambda / \delta J(\chi_1) \cdots \delta J(\chi_n) |_{J=\mu_\lambda}$ のフーリエ変換)

近似と初期条件

$$\partial_\lambda \bar{E}_{\text{gs},\lambda} = \frac{\rho_{\text{gs},0}}{2} \tilde{U}(0) + \frac{1}{2\rho_{\text{gs},0}} \int_p \tilde{U}(p) \left(\int_\omega \tilde{G}_\lambda^{(2)}(P) - \rho_{\text{gs},0} \right)$$

$$\partial_\lambda \tilde{G}_\lambda^{(2)}(P) = -\tilde{U}(p)\tilde{G}_\lambda^{(2)}(P)^2 - \frac{1}{2} \int_{P'} \tilde{U}(p')\tilde{G}_\lambda^{(4)}(P', -P', P) + \int_{P'} \frac{\tilde{U}(p')\tilde{G}_\lambda^{(3)}(P', -P')\tilde{G}_\lambda^{(3)}(P, -P)}{2\tilde{G}_\lambda^{(2)}(0)}$$

3次以上のフローは無視 $\partial_\lambda G^{(n \geq 3)} \approx 0$

近似

$$-\frac{1}{2} \int_{P'} \tilde{U}(p')\tilde{G}_\lambda^{(4)}(P', -P', P) + \int_{P'} \frac{\tilde{U}(p')\tilde{G}_\lambda^{(3)}(P', -P')\tilde{G}_\lambda^{(3)}(P, -P)}{2\tilde{G}_\lambda^{(2)}(0)}$$

$$\approx c_\lambda \left(-\frac{1}{2} \int_{P'} \tilde{U}(p')\tilde{G}_0^{(4)}(P', -P', P) + \int_{P'} \frac{\tilde{U}(p')\tilde{G}_0^{(3)}(P', -P')\tilde{G}_0^{(3)}(P, -P)}{2\tilde{G}_0^{(2)}(0)} \right)$$

- c_λ はパウリの排他律の効果から決定:
二粒子分布関数 $f_{2,\lambda}(x, x')$ に対する制限

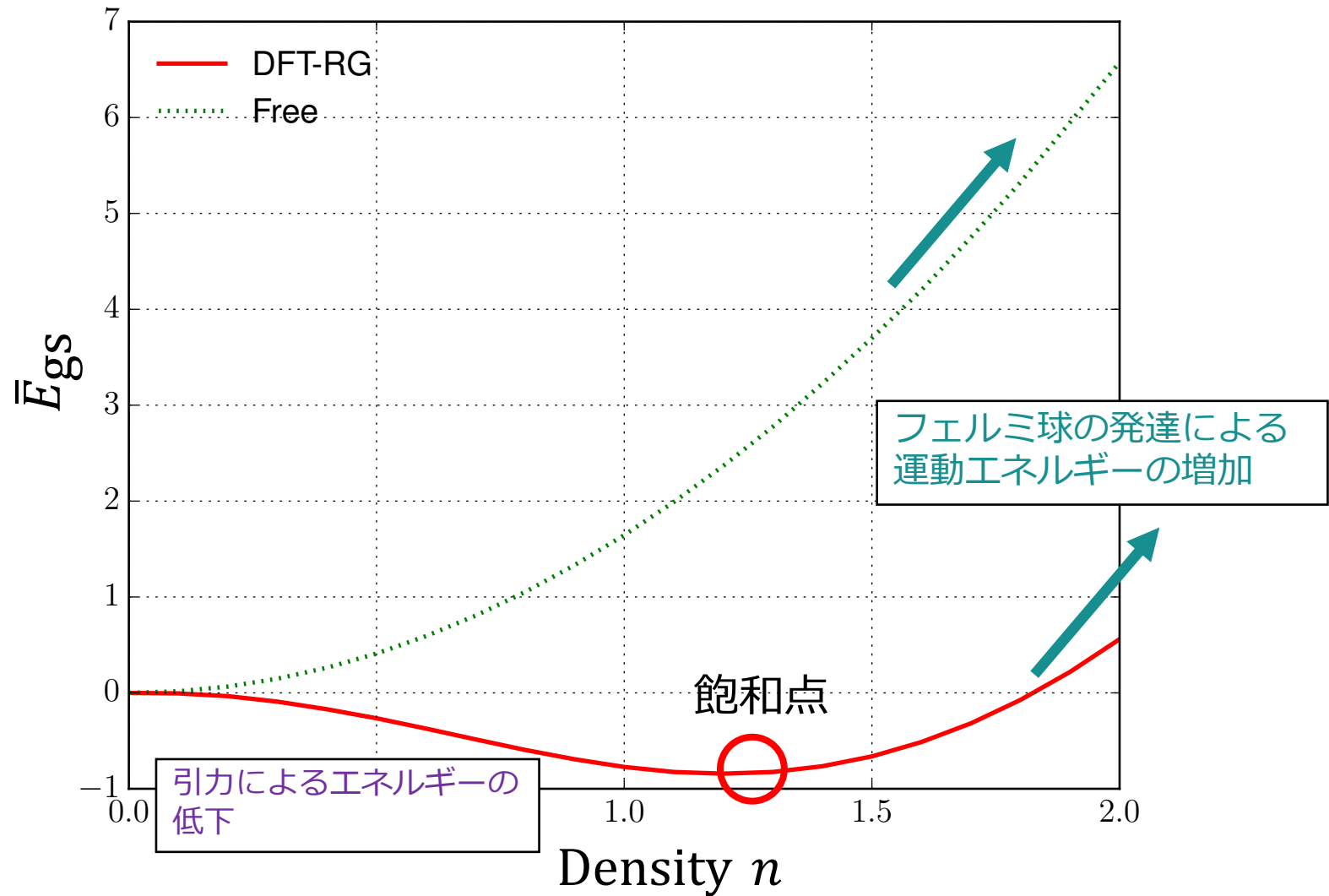
$$\lim_{x \rightarrow x'} f_{2,\lambda}(x, x') = \lim_{x \rightarrow x'} \left(G_\lambda^{(2)}(0, x, 0, x') + \rho_{\text{gs},\lambda}(x)\rho_{\text{gs},\lambda}(x') - \delta(x - x')\rho_{\text{gs},\lambda}(x) \right) = 0$$

初期条件

$$\rho_{\text{gs},0} = n \quad \bar{E}_{\text{gs},0} = (\pi n)^2/6 \quad \tilde{G}_{\lambda=0}^{(2)}$$

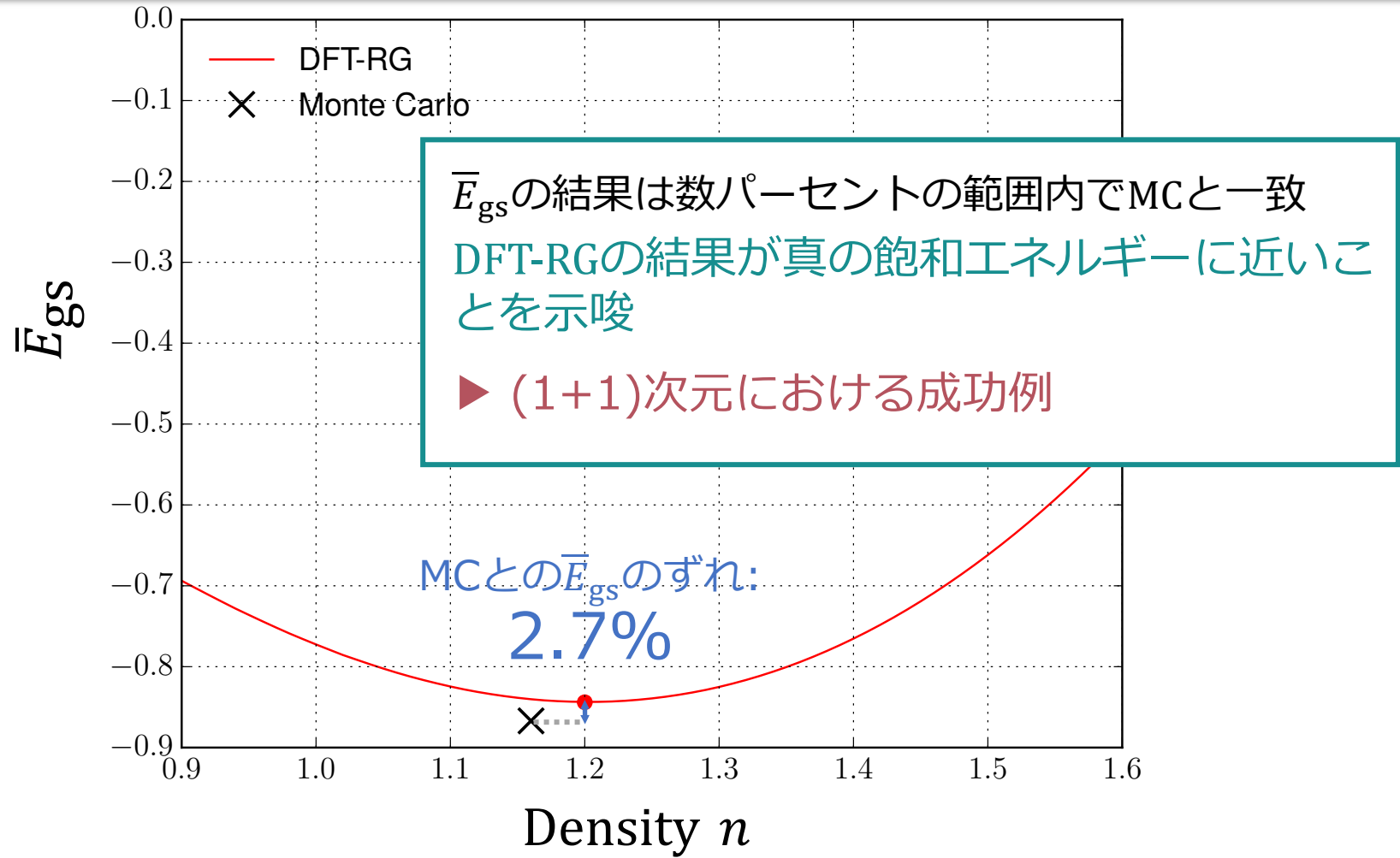
- n はフロー中常に系の粒子密度

EOSの結果



DFT-RG(2VE)と自由な系の一粒子あたりのエネルギー

飽和点付近でのEOS



DFT-RG(2VE)とMCによる一粒子あたりのエネルギー

- MCでの密度 $n = 1.16$ は仮定されたものであることに注意

Contents

- DFT-RGの導入
 - 密度汎関数理論(DFT)
 - DFT-RG
- 1次元核物質への適用
 - 基底状態 – 核物質状態方程式
 - 励起状態 – 密度-密度スペクトル関数

DFT-RGでの励起状態の解析

有効作用 $\Gamma[\rho]$ は密度相関関数の情報を含む。

密度二点相関関数とそのスペクトル関数 $\rho_d(\omega, p)$ の計算を試みた。

→ DFT-RGによる初めての励起状態の解析!

密度・密度スペクトル関数の計算手法

密度・密度スペクトル関数

$$\rho_d(\omega, p) = -2\text{Im}\tilde{G}_{R,\lambda=1}^{(2)}(\omega, p)$$

$\tilde{G}_{R,\lambda}^{(2)}(\omega, p)$ は遅延密度相関関数。虚時間相関関数からの解析接続で得られる。

$$\tilde{G}_{R,\lambda}^{(2)}(\omega, p) = -\left.\tilde{G}_\lambda^{(2)}(-iz, p)\right|_{z \rightarrow \omega + i\epsilon} \quad z \text{の上半面で正則となるように解析接続}$$

一般には、このような解析接続は数値計算上難しい問題となる。

しかし、我々の近似では、このような解析接続はフロー方程式の段階で簡単に行える。

FRGにおける例: Kamikado, Strodthoff, Smekal, Wambach, EPJC (2014)

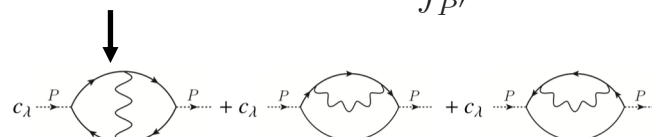
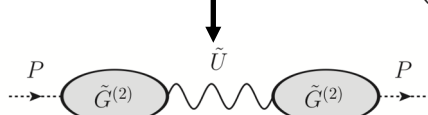
$$\partial_\lambda \tilde{G}_\lambda^{(2)}(P) = -\tilde{U}(p)\tilde{G}_\lambda^{(2)}(P)^2 - \frac{c_\lambda}{2} \int_{P'} \tilde{U}(p')\tilde{G}_0^{(4)}(P', -P', P) + c_\lambda \int_{P'} \frac{\tilde{U}(p')\tilde{G}_0^{(3)}(P', -P')\tilde{G}_0^{(3)}(P, -P)}{2\tilde{G}_0^{(2)}(0)}$$

$\tilde{G}_{R,\lambda}^{(2)}$ のフロー方程式:

周波数積分をした後の P^0 に対する解析的な形が分かる

$\rightarrow iP^0 \rightarrow \omega + i\epsilon$ の置き換えをするだけ!

$$\partial_\lambda \tilde{G}_{R,\lambda}^{(2)}(\omega, p) = -\tilde{U}(p)\tilde{G}_{R,\lambda}^{(2)}(\omega, p)^2 - \left(\frac{c_\lambda}{2} \int_{P'} \tilde{U}(p')\tilde{G}_0^{(4)}(P', -P', P) + c_\lambda \int_{P'} \frac{\tilde{U}(p')\tilde{G}_0^{(3)}(P', -P')\tilde{G}_0^{(3)}(P, -P)}{2\tilde{G}_0^{(2)}(0)} \right) \Big|_{P^0 \rightarrow -i(\omega + i\epsilon)}$$



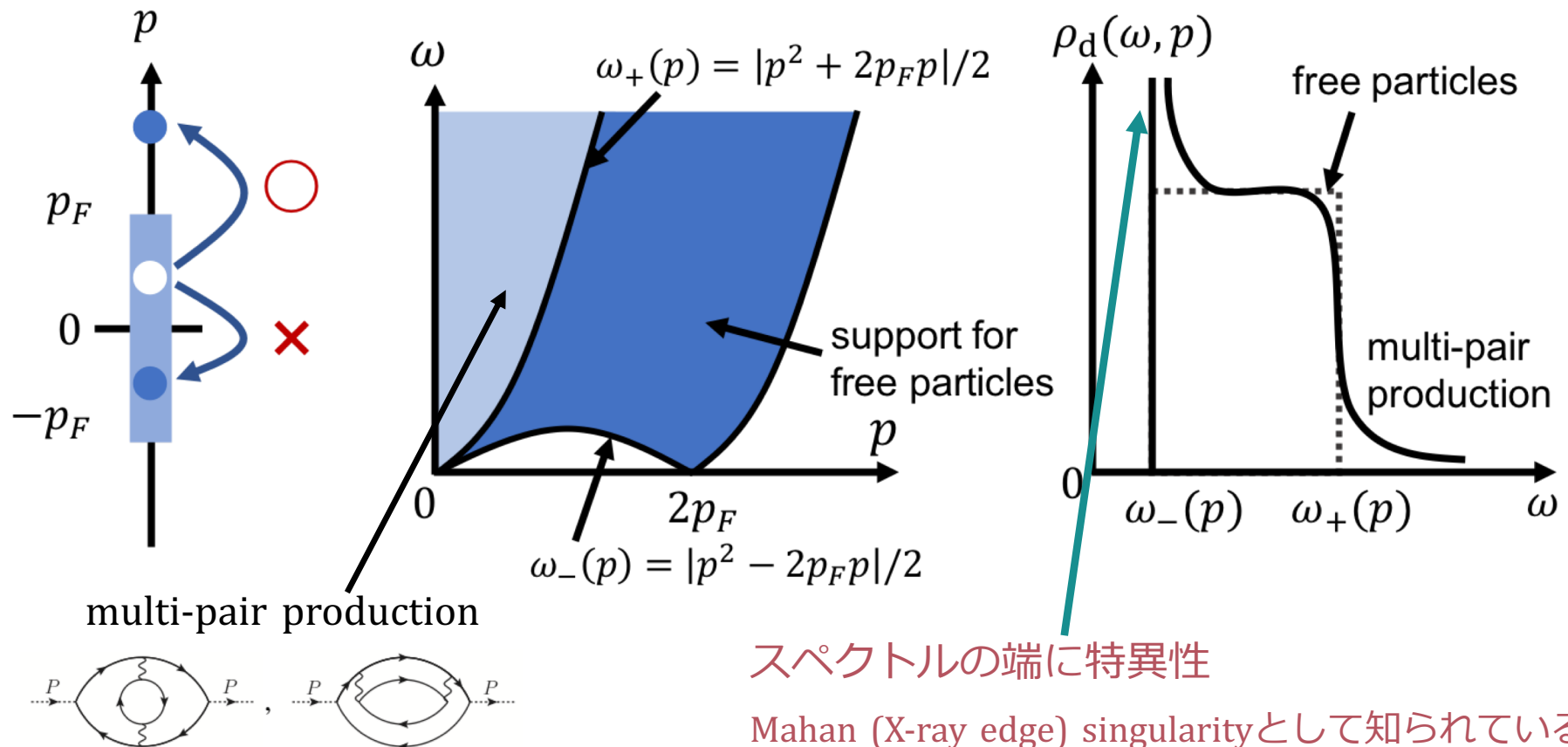
(1+1)次元フェルミオン系での ρ_d

Pustilnik, Khodas, Kamenev, Glazman, PRL96 (2006)

Teber, PRB76 (2007)

A. Imambekov, T. L. Schmidt, L. I. Glazman, RMP (2012)

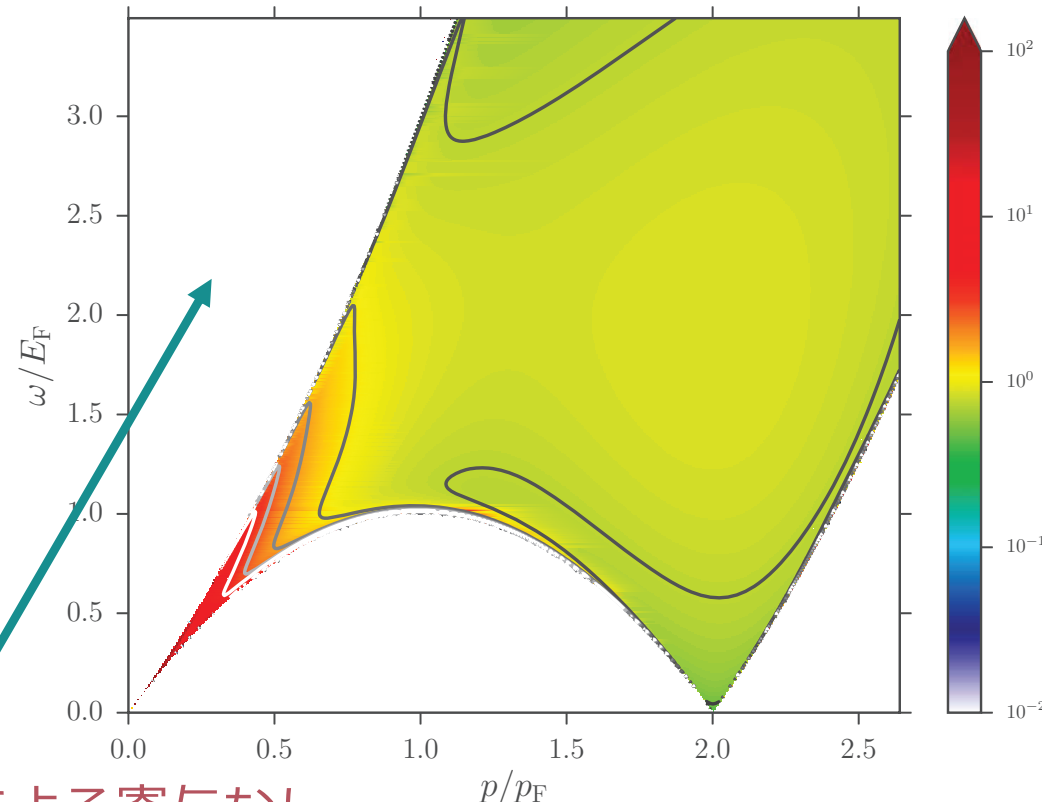
非線形朝永・ラッティンジャー流体のボソン化法などによる解析からの示唆



Nozieres, De Dominicis, PR178 (1969); Mahan (1981)

ρ_d の結果 - (ω, p) 上の等高線図

飽和密度での計算

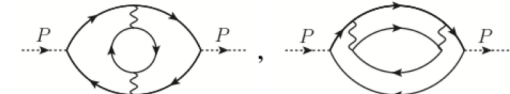


multi-pair過程による寄与なし

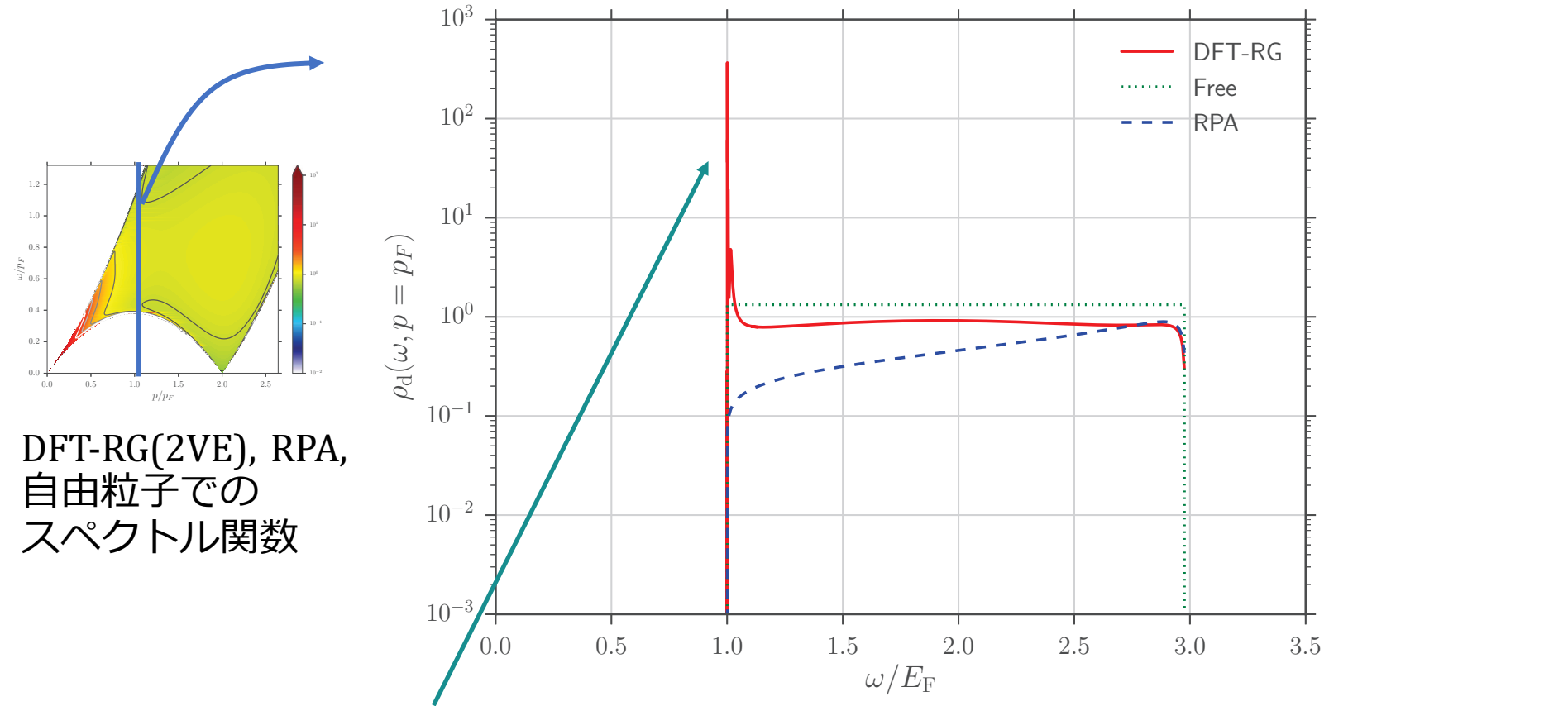
$$\partial_\lambda \tilde{G}_{R,\lambda}^{(2)}(P) \approx \dots \xrightarrow{P} \textcircled{G}^{(2)} \xrightarrow{\tilde{U}} \textcircled{\tilde{G}}^{(2)} \xrightarrow{P} \dots + c_\lambda \xrightarrow{P} \textcircled{*} \xrightarrow{P} + c_\lambda \xrightarrow{P} \textcircled{*} \xrightarrow{P} + c_\lambda \xrightarrow{P} \textcircled{*} \xrightarrow{P} + \dots$$

$G^{(4)}$ part

以下のような寄与
は含まれていない

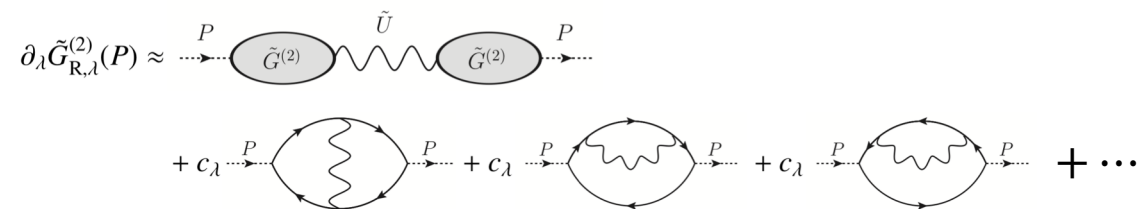


ρ_d の結果 - p 固定の場合



DFT-RG(2VE), RPA,
自由粒子での
スペクトル関数

$\omega = \omega_-(p)$ での特異性

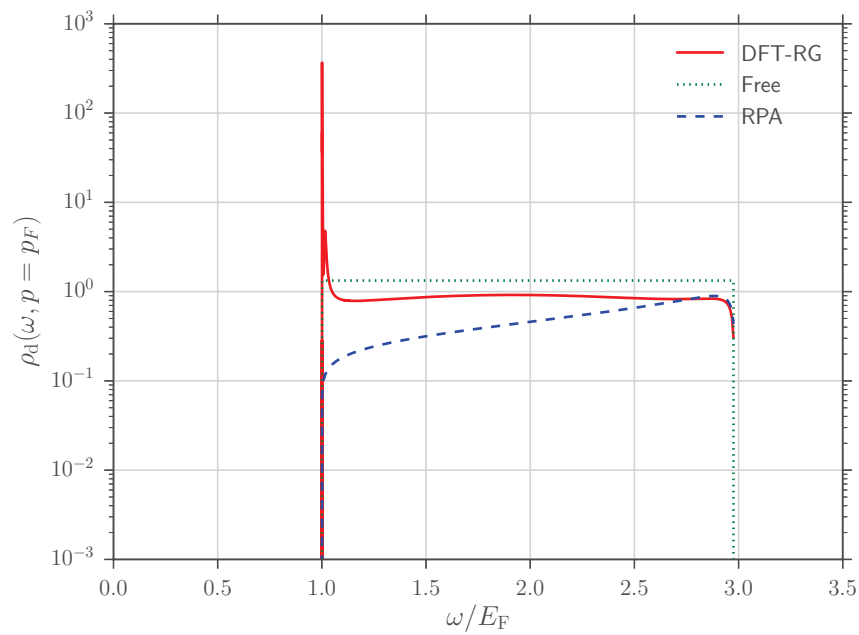
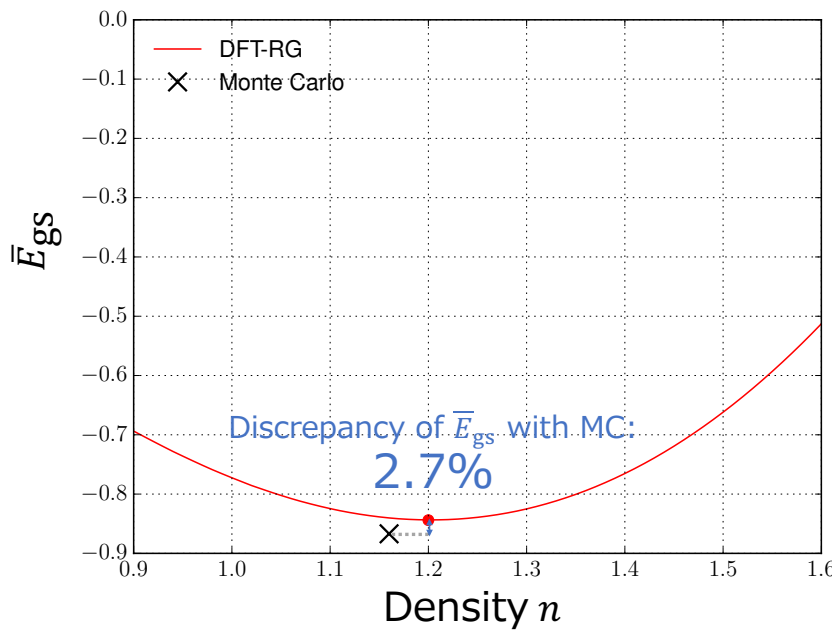


$\tilde{G}^{(3,4)}$ からの寄与はRPAでは
無視される

まとめ

(1+1)次元連続核物質におけるDFT-RGの**基底状態**と**励起状態**の解析の初めての成功例。

► DFT-RGは実用的!

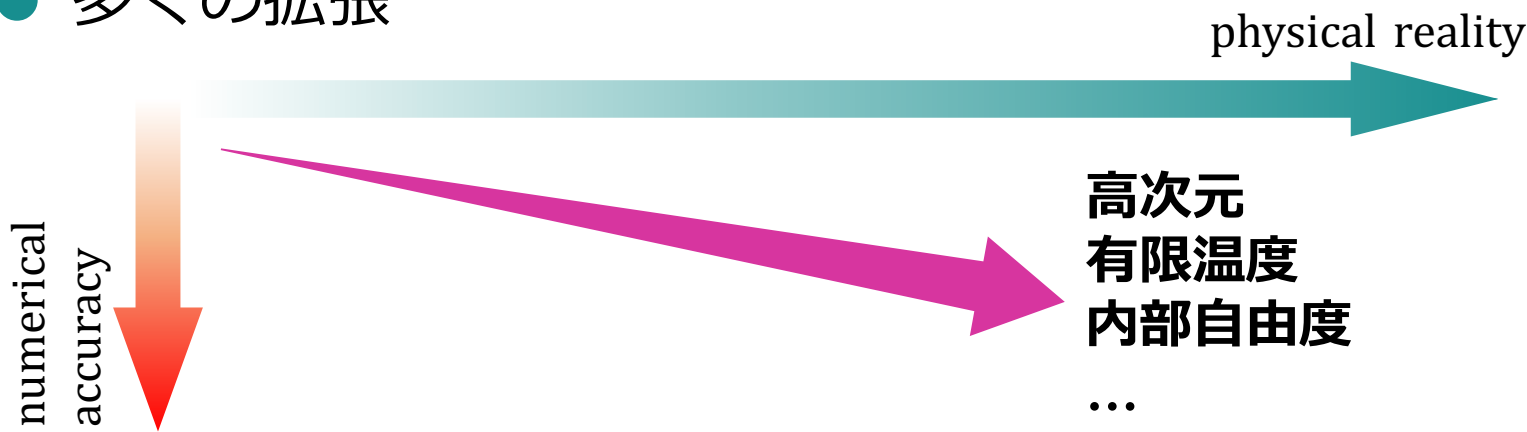


展望

- スペクトル関数についてのさらなる解析

- multi-pair productionを取り入れるには?
- 特異性の定量的解析について。

- 多くの拡張



- フェルミオン対のような密度以外の演算子の導入 → **超流動**
- 核物質, 冷却原子系, 電子系...

Back up

How to determine c_λ

$$\begin{aligned} f_{2,\lambda}(x_1, x_2) &= \langle \rho_\psi(0, x_1) \rho_\psi(0, x_2) \rangle_{\rho_{\text{gs},\lambda}} - \delta(x_1 - x_2) \langle \rho_\psi(0, x_1) \rangle_{\rho_{\text{gs},\lambda}} \\ &= G_\lambda^{(2)}(0, x_1, 0, x_2) + \rho_{\text{gs},\lambda}(x_1) \rho_{\text{gs},\lambda}(x_2) - \delta(x_1 - x_2) \rho_{\text{gs},\lambda}(x_1), \end{aligned}$$

Pauli blocking

$$\begin{aligned} \lim_{x_1 \rightarrow x_2} G_\lambda^{(2)}(0, x_1, 0, x_2) &= \lim_{x_1 \rightarrow x_2} \left(\delta(x_1 - x_2) \rho_{\text{gs},\lambda}(x_1) - \rho_{\text{gs},\lambda}(x_1) \rho_{\text{gs},\lambda}(x_2) \right). \\ &= \int_P \tilde{G}_\lambda^{(2)}(P) \quad \text{not } \lambda\text{-dependence in our case} \\ \xrightarrow{\hspace{1cm}} \int_P \partial_\lambda \tilde{G}_\lambda^{(2)}(P) &= 0 \end{aligned}$$

Flow equation

$$\int_P \tilde{U}(p) \tilde{G}_\lambda^{(2)}(P)^2 + \frac{1}{2} \int_{P,P'} \tilde{U}(p') \tilde{G}_\lambda^{(4)}(P', -P', P) = 0,$$

$$\tilde{G}_\lambda^{(4)}(P', -P', P) \approx c_\lambda \tilde{G}_0^{(4)}(P', -P', P), \quad c_\lambda = -\frac{2 \int_P \tilde{U}(p) \tilde{G}_\lambda^{(2)}(P)^2}{\int_{P,P'} \tilde{U}(p') \tilde{G}_0^{(4)}(P', -P', P)}.$$

Effective action formalism for DFT-RG

- Generating function of the connected correlation functions

$$W[J] = \ln Z[J] = \ln \int \mathcal{D}\Phi e^{-S[\Phi] + J_{i_1, \dots, i_n}} \mathcal{O}(\Phi_{i_1}, \dots, \Phi_{i_n})$$

Φ_i : Fields
 i_a : Indices of coordinate and internal degree of freedom

- Effective action (EA)**

$$\Gamma[\mathcal{O}] = \sup_J [J \cdot \mathcal{O} - W[J]] \quad \bullet \text{ Quantum EOM} \quad \frac{\delta \Gamma[\mathcal{O}]}{\delta \mathcal{O}_{i_1, \dots, i_n}} = 0$$

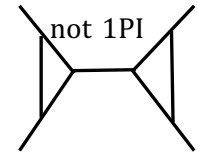
Determines the behavior of the expectation value of \mathcal{O}

- Some types of EA depending on the choice of \mathcal{O}

- 1PI (1 particle irreducible)

$$\mathcal{O}(\Phi_i) = \Phi_i$$

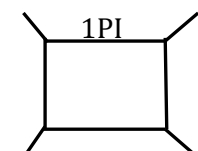
Γ : Generating function of 1PI diagrams



- nPI (n particles irreducible)

$$\mathcal{O}_{i_1, \dots, i_n} = \Phi_{i_1} \Phi_{i_2} \cdots \Phi_{i_n}$$

Γ : Generating function of nPI diagrams



- 2PPI (2 particles point irreducible)

$$\mathcal{O}(\Phi_i(x), \Phi_j(x)) = \Phi_i(x)\Phi_j(x)$$

H. Verschelde, M. Coppens, PLB (1992)

Action

$$S_\lambda[\psi^*, \psi] = \int_{\chi}^{\beta} \psi^*(\chi) \left(\partial_\tau - \frac{1}{2} \partial_x^2 \right) \psi(\chi)$$
$$+ \frac{\lambda}{2} \int_{\chi, \chi'}^{\beta} \psi^*(\chi) \psi^*(\chi') U_{2b}(\chi, \chi') \psi(\chi') \psi(\chi)$$


Spinless fermion field

$$\chi = (\tau, x) \quad \int_{\chi}^{\beta} = \int_{-\beta/2}^{\beta/2} d\tau \int dx \quad U_{2b}(\chi, \chi') = \delta(\tau - \tau') U(x - x')$$

$$\int dx_i G^{(n)}_{\lambda}(\chi_1,\cdots,\chi_n)=0 \quad (i\in\{1,\cdots,n\})$$

Idea of DFT-RG

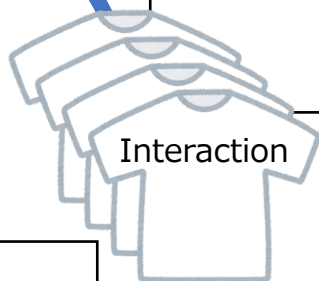
Add effect of interaction to free 2PPI EA gradually

J. Polonyi, K. Sailer, PRB (2002), A. Schwenk, J. Polonyi (2004)

$\Gamma_{\text{free}}[\rho]$
 $\lambda = 0$
(Free limit)

2PPI flow eq. S. Kemler, M. Pospiech, J. Braun, JPG (2017)

$$\partial_\lambda \Gamma_\lambda[\rho] = \frac{1}{2} \int_{\chi_1, \chi_2}^{\beta} U_{2b}(\chi_1, \chi_2) (\rho(\chi_1)\rho(\chi_2) + \left(\frac{\delta^2 \Gamma_\lambda[\rho]}{\delta \rho \delta \rho} \right)^{-1} (\chi_1, \chi_2) - \rho(\chi_2)\delta(\chi_2 - \chi_1))$$



Regulated action
 $S_\lambda = S_{\text{free}} + \lambda S_{\text{int}}$

$$\lambda \rightarrow 1$$

$\Gamma[\rho]$
 $\lambda = 1$

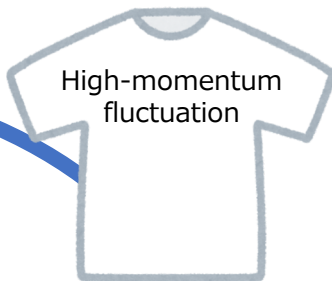
U_{2b} : two-body interaction

FRG (conventional (1PI) case)

Add fluctuations to bare EA gradually and get the EA

C. Wetterich, PLB (1993)

$$\Gamma_{\text{bare}}^{\text{1PI}}[\Phi]^{(=s)} \quad k = \Lambda \\ (\text{Large UV scale})$$

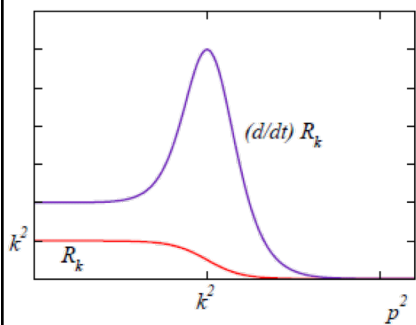


1PI flow eq.

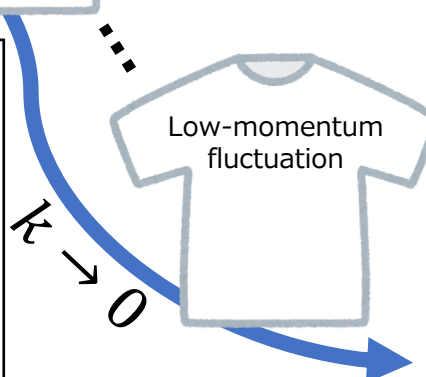
$$\partial_k \Gamma_k^{\text{1PI}}[\Phi] = \frac{1}{2} \text{STr} \left[\frac{\partial_k R_k}{\Gamma_k^{\text{1PI}(2)}[\Phi] + R_k} \right]$$

Regulated action

$$S_k = S + \frac{1}{2} \Phi \cdot R_k \cdot \Phi$$



Regulator term
(suppress fluctuations with
momentum $\lesssim k$)



$$\Gamma^{\text{1PI}}[\Phi] \quad k = 0 \\ (\text{IR scale})$$

Γ^{1PI} : EA, S : bare action, Φ : fields, k : momentum scale
 Γ_k^{1PI} : effective average action, R_k : regulator